

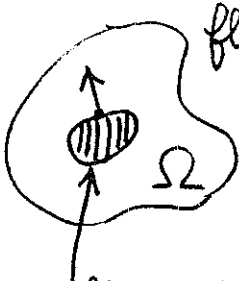
# Chapitre (III) Interaction fluide-paroi

- 1) généralités
- 2) théorème d'Archimède
- 3) coefficients aérodynamiques
- 4) Poussée d'un moteur-fusée
- 5) Masse ajoutée
- 6)
- 7) Notion de couche limite
- 8) Théorie de Prandtl
- 9) solution de Blasius
- 10) Décollement de la couche limite

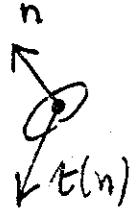
Circulation et portance

1) Généralités.

bilan impulsion :  $\frac{d}{dt} \int_{\Omega} \rho u \, dx = \int_{\Omega} \rho f \, dx + \int_{\partial\Omega} t \, d\gamma$



$\Sigma$ : solide immobile :  $u \cdot n = 0$



définition de  $\vec{T}$  = force exercée par le fluide sur une plaquette de normale  $n$  (pointant vers le fluide).

force  $F = \int_{\Sigma} t(n) \, d\gamma$   $n =$  normale extérieure  $\bar{a} \Sigma$

$$F = \int_{\Sigma} -p n + \int_{\Sigma} \tau \cdot n \, d\gamma$$

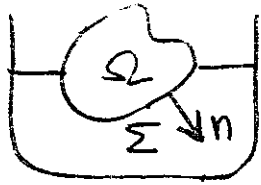
⊗ à la convention de signe pour  $n$ .

cela change si on prend la normale extérieure  $\bar{a} \Omega$  (opposée à la normale extérieure  $\bar{a} n$ )

moment  $M = \int_{\Sigma} x \times t(n) \, d\gamma$

$$M = - \int_{\Sigma} x \times p n \, d\gamma + \int_{\Sigma} (x \times \tau \cdot n) \, d\gamma$$

2) Théorème d'Archimède (de Syracuse en Sicile, 250 avant J.C.).



Efforts en hydrostatique.

$$\vec{f} = - \int_{\Sigma} p \vec{n} d\sigma$$

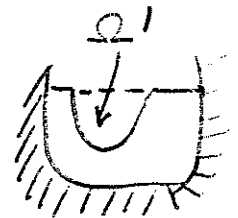
$$\vec{f} + \vec{f}_{vol} = 0$$

$\Sigma$  = section mouillée.

on remplace  $\Omega$  par  $S$ , corps rigide maintenu en équilibre de sorte que le fluide extérieur à  $\Omega$  reste dans le même état.

Le fluide agit sur  $S$  encore via la force  $-p\vec{n}$  sur  $\Sigma$ . En particulier si on met pour  $S$  le fluide de départ, alors

$$\vec{f} = - \vec{f}_{vol}(\text{fluide}) = - \int_{\Omega'} -\rho g \vec{k} d\sigma$$



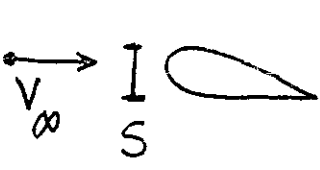
$$\vec{f}_{pres} = m_{\Omega'} g \vec{k}$$

- (M) Un corps en équilibre dans un fluide reçoit de la part de celui-ci une poussée dirigée vers le haut de module égal au poids du volume fluide déplacé.

(R) on a aussi (m Bernoulli, ou Pascal)

$$\vec{f} = - \int_{\Sigma} p \vec{n} d\sigma = \int_{\Sigma} \rho g z \vec{n} d\sigma$$

### 3) Coefficients aérodynamiques



$V_\infty \rightarrow$  définit une direction  $x$   
 $\rho_\infty, V_\infty \rightarrow$  pression dynamique  $\frac{1}{2} \rho_\infty V_\infty^2$   
 $S$ : section coupée par le profil au sein de l'écoulement amont

$$\vec{f} = \vec{L} + \vec{D}$$

$\uparrow$  portance                       $\uparrow$  traînée

$\left. \begin{array}{l} L: \text{lift} \\ D: \text{drag} \end{array} \right\}$

$L = \frac{1}{2} \rho_\infty V_\infty^2 S C_L \leftarrow$  coefficient de portance

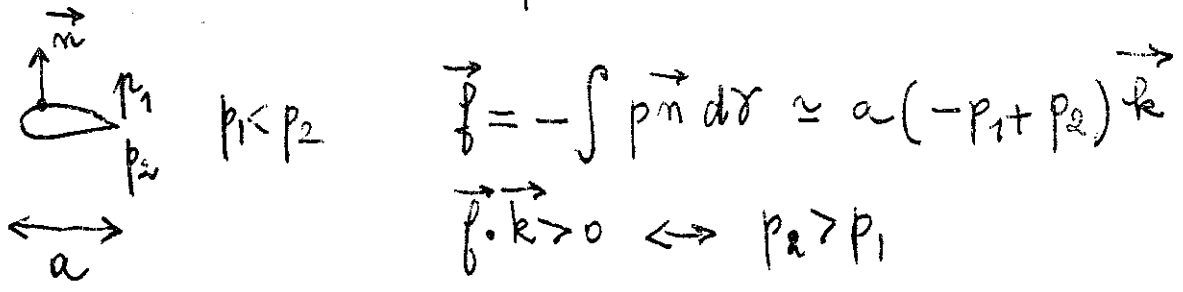
$D = \frac{1}{2} \rho_\infty V_\infty^2 S C_D \leftarrow$  coefficient de traînée

$M =$  moment, dirigé dans la direction perpendiculaire  $\vec{k}$ .

$$M = \frac{1}{2} \rho_\infty V_\infty^2 S l C_M$$

$\uparrow$   $l$  échelle de longueur le long de  $\vec{k}$                        $\uparrow$   $C_M$  coefficient de moment.

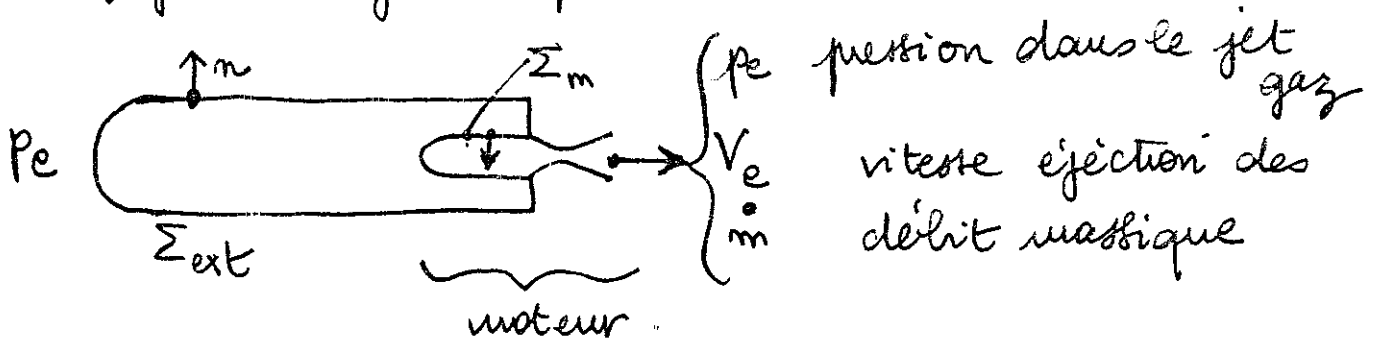
- portance créée par une dépression à l'extrados.



- Centre de poussée  
 cf éléments de réduction d'un torseur

#### 4) Poussée d'un moteur fusée

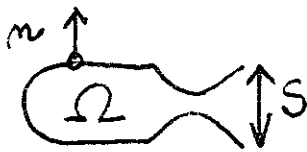
- Configuration géométrique



surface de contrôle  $\Sigma$  : toute la structure sans le fluide

$$\Sigma = \Sigma_{\text{ext}} + \Sigma_{\text{moteur}}$$

- Bilan d'impulsion dans le moteur



fluide parfait stationnaire

$$\int_{\partial\Omega} \{ \rho u(u \cdot n) + p n \} d\sigma = 0$$

$$\int_{\partial\Omega} \rho u(u \cdot n) \approx \int_S \rho u(u \cdot n) d\sigma$$

on néglige l'impulsion du gaz froid sur la paroi délimitante ou le jet suivant dans la chambre de combustion.

$$\dot{m} = \int_S \rho(u \cdot n) d\sigma \quad \text{Donc} \quad \int_{\partial\Omega} \rho u(u \cdot n) = \dot{m} V_e$$

$$\int_{\Sigma_m} \vec{p} n d\sigma = - \dot{m} V_e - p_e S$$

$\Sigma_m$  force propulsive, structure interne du moteur  
attention au signe de la normale

- Astuce: introduire la pression atmosphérique  $p_0$  à l'infini (qui n'est perturbée par l'écoulement de la fusée) et la surface extérieure  $\Sigma_{ext} + S$  formée de la structure et des gaz jusqu'à la sortie tuyère.

$$\int_{\Sigma_{ext}} p_0 \vec{n} d\sigma + \int_S p_0 \vec{n} d\sigma = 0$$

{ ou  $\Sigma_{ext} + S$  délimite une surface fermée }

en projection sur Ox:  $p_0 S = - \left( \int_{\Sigma_{ext}} p_0 \vec{n} d\sigma \right) \cdot \vec{i}$

- Faire le bilan de tous les fluides agissant sur la structure: air et gaz de combustion

$$\vec{f} = - \int_{\Sigma_{ext}} p_e \vec{n} d\sigma - \int_{\Sigma_m} p \vec{n} d\sigma$$

$$\vec{f} \cdot \vec{i} = - \int_{\Sigma_{ext}} \vec{i} \cdot p_e \vec{n} d\sigma - \dot{m} V_e - p_e S$$

$$= - \underbrace{\int_{\Sigma_{ext}} (p_e - p_0) (\vec{n} \cdot \vec{i}) d\sigma}_{D_i \text{ traînée}} - \dot{m} V_e + (p_0 - p_e) S$$

$$\underbrace{-\vec{f} \cdot \vec{i}}_{\geq 0} = \dot{m} V_e + (p_e - p_0) S \quad \underbrace{- D_i}_{\leq 0}$$

$p_e = p_0$ : tuyère adaptée.

7

$p_e < p_0$  recompression après la sortie tuyère (chocs)  
 régime qui dégrade la poussée

$p_e > p_0$  détente externe ↳ cf tuyère shuttle  
 régime qui favorise la poussée

- Impulsion spécifique.  
 terme ppal :  $\dot{m} V_e$ .

$$I_{sp} = \frac{V_e}{g} \quad \text{en secondes!}$$

## 5) Masse ajoutée

- au paragraphe précédent, il y a des choses pas rigoureuses car on applique à un solide (uniformément) accéléré un bilan valable dans un repère galiléen

↳ Attention!

- Écoulement potentiel

Quel entraînement du fluide par l'objet en mouvement si celui-ci est accéléré?

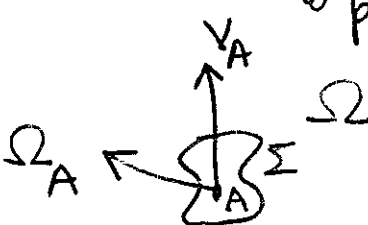
{ ≠ effet d'entraînement entre les particules fluides d'un fluide visqueux }

↳ entraînement par effet inertiel du fluide incompressible déplacé par le solide.

Solide accéléré → le fluide qu'il déplace est aussi accéléré.

Phénomène d'halilage du solide par le fluide  
 environnant  $\rightarrow$  augmentation de l'effet d'inertie  
 $\rightarrow$  masse ajoutée !

• Modèle  $\left\{ \begin{array}{l} \text{Germain} \\ \text{p 254} \end{array} \right\}$  solide en mouvement  
 $\rightarrow$  vitesse  $V_A$ , vecteur rotation  $\Omega_A$



champ de vitesse du solide:  
 $V(M) = V_A + \Omega \times AM$

$\Omega$ : extérieur du solide contenant le fluide  
 A à l'infini, la vitesse est nulle.

$u = \nabla \varphi$  écoulement potentiel à tout instant

$$\left\{ \begin{array}{l} \frac{\partial \varphi}{\partial n} = 0 \quad \text{si} \quad x \rightarrow \infty \quad \nabla \varphi \rightarrow 0 \quad \text{si} \quad x \rightarrow \infty? \\ \frac{\partial \varphi}{\partial n} = u \cdot n = V(M) \cdot n = V_A \cdot n + (\Omega, AM, n) \end{array} \right.$$

fluide incompressible  $\rightarrow \Delta \varphi = 0$

$$\text{soit } W = \begin{bmatrix} V_A \\ \Omega_A \end{bmatrix} \in \mathbb{R}^6 = {}^t(W_1, \dots, W_6)$$

$$\mu = \begin{bmatrix} n \\ AM \times n \end{bmatrix} \in \mathbb{R}^6 = {}^t(\mu_1, \dots, \mu_6)$$

$$\text{alors } \frac{\partial \varphi}{\partial n} = \sum_{j=1}^6 W_j \mu_j$$

$$\text{Par linéarité, } \varphi = \sum_{j=1}^6 W_j \varphi_j$$

$$\text{avec } \Delta \varphi_j = 0 \quad \Omega$$



$$\begin{cases} \nabla \varphi_j \rightarrow 0 & \text{à l'infini} \\ \frac{\partial \varphi_j}{\partial n} = \mu_j(M) & \text{sur } \Sigma \end{cases}$$

• Énergie cinétique du fluide

$$K = \frac{1}{2} \int_{\Omega} \rho (\nabla \varphi)^2 dx \quad (\text{à un sens; cf hyp à l'∞})$$

$$K = \frac{1}{2} \sum_j \sum_k W_j \cdot W_k \underbrace{\rho \int_{\Omega} \nabla \varphi_j \cdot \nabla \varphi_k dx}_{I_{jk}}$$

Alors  $\frac{dK}{dt} = \sum_j \sum_k I_{jk} W_j \frac{dW_k}{dt}$

or  $\frac{dW_k}{dt} = \left( \delta A, \frac{dS_A}{dt} \right)$

L'énergie cinétique perdue par le fluide est gagnée par le solide, donc la force généralisée, i.e le couple (force, moment cinétique) agissant sur le fluide a pour k° composante

$$\sum_{j=1}^6 I_{jk} W_j$$

tenseur d'inertie de l'obstacle induit par le fluide.

- Cas de la sphère. (Germain p294; Guyon p252)

On reprend l'ensemble du calcul dans le cas d'un mouvement sans rotation (ou avec,

de toute façon  $AM \times n = 0$  pour la sphère)



$$\frac{\partial \varphi}{\partial n} = V_A \cdot n = V_A \cos \theta$$

alors  $\varphi =$  potentiel dipolaire

$$\varphi = -\frac{R^3}{2r^2} V_A \cos \theta = -\frac{R^3}{2r^3} V_A \cdot AP = -\frac{R^3}{2} \frac{V_A \cdot AP}{(AP)^3}$$

$$* \text{ force globale} = -\int p \vec{n} d\sigma$$

Bernoulli:  $\frac{\partial \varphi}{\partial t} + \frac{p}{\rho} + \frac{u^2}{2} = c(t) - \underset{\substack{\uparrow \\ \text{altitude}}}{gh}$

quelle contribution? force nulle par symétrie

$gh \rightarrow$  redonne la poussée d'Archimède en hydrostatique.

$$\frac{\partial AM}{\partial t} = -V_A \text{ car } n \text{ est fixé et } A \text{ bouge.}$$

$$\text{Donc } \frac{\partial \varphi}{\partial t} = -\frac{R^3}{2} \left( \frac{1}{r^3} \frac{dVA}{dt} \cdot AM - \frac{V_A^2}{r^3} + 3 \frac{(V_A \cdot AM)^2}{r^5} \right)$$

$$-\int_{\Sigma} p \vec{n} d\sigma = -\rho \frac{R^3}{2} \frac{1}{R^3} \int_{\Sigma} (\vec{\gamma}_A \cdot AM) \frac{AM}{r} d\sigma \quad \text{d'intégrale nulle contre } n.$$

$$= -\rho \frac{1}{2R} \vec{\gamma}_A R^4 \underbrace{\int_0^{\pi} \cos^2 \theta \sin \theta d\theta}_{2 \times \frac{2\pi}{3}} = -\rho R^3 \vec{\gamma}_A \frac{2}{3} \pi$$

résultante des actions du fluide sur la  
sphère = poussée d'Archimède  
plus force d'inertie  $-m' \vec{\gamma}_A$

$$m' = \frac{1}{2} \left( \frac{4}{3} \pi R^3 \right)$$

masse de la sphère remplie de fluide

\* ballon

qui contient un gaz dix fois plus  
léger que l'air.

$$\begin{array}{l} \text{poids} \quad -mg \vec{k} \\ \text{Archimède} \quad 10mg \vec{k} \\ \text{force d'inertie} \quad -5m \gamma_A \end{array}$$

bilan  $m \gamma_A = -mg + 10mg - 5m \gamma_A$

$$\gamma_A = \frac{3}{2} g$$

\* si  $\rho_{\text{corps}} < \text{ou} \approx \rho_{\text{fluide}}$ , alors la force  
d'inertie devient non négligeable

⊗ antennes du satellite N\*

essais dans l'air → le fondamental  
est décalé de 25% !

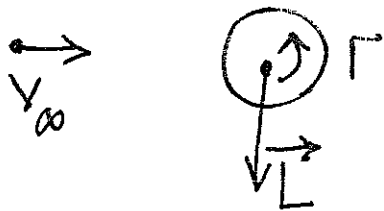
6) Birculation et portance

- Etude bidimensionnelle  
fluide parfait potentiel

(Ph) de Joukowski (1906).

rotationnel

Dans un écoulement bidimensionnel de fluide parfait autour d'un contour fermé et de circulation  $\Gamma$ , dont la vitesse à l'infini est  $V_\infty$ , la pression aérodynamique agit sur le contour avec une force perpendiculaire à la vitesse, de module  $|L| = \rho_\infty V_\infty \Gamma$ ; la direction est obtenue en tournant  $\vec{V}_\infty$  de  $\pi/2$  dans la direction contraire de  $\Gamma$ .



$$\vec{L} = \rho_\infty \vec{V}_\infty \times \Gamma \vec{k}$$

$$L = -\rho_\infty V_\infty \Gamma \quad \text{si} \quad \vec{V}_\infty = V_\infty \vec{i}$$

## Preuve du th de Joukowski

- Il faut d'abord établir la formule de Blasius (cf Zeman p 225) qui exprime la force (complexe)

$F = F_1 - i F_2$  en fonction du potentiel complexe des vitesses.

$$F = F_1 - i F_2 = - \oint_{\text{profil}} p (m_1 - i m_2) d\sigma.$$

$f = \varphi + i \psi$  holomorphe

$$\frac{df}{dz} = u - iv \quad -p = \frac{\rho}{2} |\nabla \varphi|^2 + \text{cte (Bernoulli)}$$

$$(m_1 - i m_2) d\sigma = dy + i dx$$

$$\text{Donc } F = \frac{\rho}{2} \oint (u - iv)(u + iv)(dy + i dx)$$

→ nul car  $(u \circ m) = 0$

$$(u + iv)(dy + i dx) = (u dy - v dx) + i (u dx + v dy)$$

$$= (v dx - u dy) + i (u dx + v dy)$$

$$= i (u - iv)(dx + i dy)$$

$$F = i \frac{\rho}{2} \oint_{\text{profil}} \left( \frac{df}{dz} \right)^2 dz \quad \textcircled{R} \text{ formule analogue pour le moment}$$

- on calcule  $F$  en déformant le contour, en pratique en prenant une frontière lointaine du profil, où le champ de vitesse est connu, ainsi que la circulation.

$$f = V_{\infty} z - i \frac{\Gamma}{2\pi} \log z + \sum_{k=0}^{\infty} \alpha_k \frac{1}{z^k}$$

$$\frac{df}{dz} = V_{\infty} - i \frac{\Gamma}{2\pi} \frac{1}{z} + \sum_{k=0}^{\infty} k \alpha_k \frac{(-1)}{z^{k+1}}$$

$$\left(\frac{df}{dz}\right)^2 = -\left(\frac{\Gamma}{2\pi}\right)^2 \frac{1}{z^2} - i \frac{\Gamma}{\pi} V_{\infty} \frac{1}{z} + \sum_{k=0}^{\infty} \beta_k \frac{1}{z^k}$$

$\oint \left(\frac{df}{dz}\right)^2 dz$  est donné par la formule des résidus, c'est à dire  $2i\pi \times$  coef de  $\frac{1}{z}$  dans le développement de  $\left(\frac{df}{dz}\right)^2$  en puissances de  $\frac{1}{z}$ .

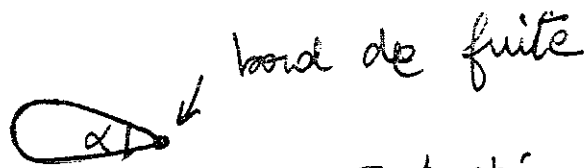
$$F = i \frac{\rho}{2} (2i\pi) \left(-i \frac{\Gamma}{\pi} V_{\infty}\right) = i \rho V_{\infty} \Gamma = F_1 - i F_2$$

$$F_1 = \text{trainée} = 0$$

$$F_2 = \text{portance} = L = -\rho V_{\infty} \Gamma. \quad \blacksquare$$

que vaut la portance? la circulation?  
 pls du cylindre  $\rightarrow$  côté d'écoulement, paramétrés par la circulation  $\Gamma$ !

Profil à petite



Condition de

Kutta-Joukowski (1902, 1906, 1894)

□ Condition KJ la vitesse est finie (donc nulle pour un angle  $\alpha \neq 0$ ) au bord de fuite.

$\rightarrow$  fixé la circulation, donc la portance!

- Cas tri dimensionnel :

12.3

Paradoxe de d'Alembert

(1744)

- (R) La résultante des efforts d'un fluide parfait stationnaire autour d'un domaine  $D$  simplement connexe et potentiel est nulle !

preuve: voir Germain p257, Serin p158.

enté = dnp asymptotique de fonctions harmoniques tridimensionnelles.

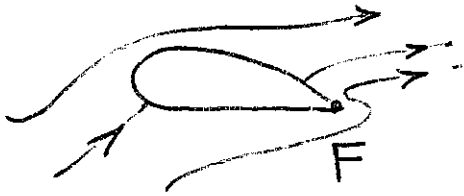
- Donc les effets de la viscosité doivent être pris en compte de manière essentielle.

• Etablissement de la circulation

$t=0$  fluide au repos  $\rightarrow \Gamma=0$

$t>0$   $\Gamma \neq 0$

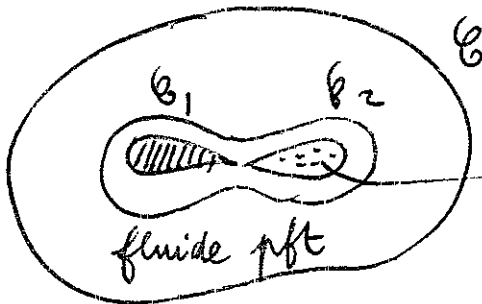
viscosité



gradients très grands au voisinage de F

$\rightarrow$  effets de viscosité importants.

$\rightarrow$  existence d'un sillage rotationnel.



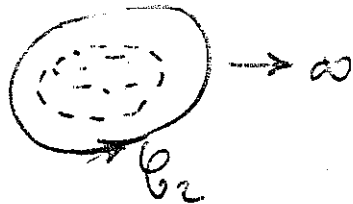
sillage rotationnel.

$0 < t < T < \infty$

$$\int_C v \cdot t \, ds = 0$$

$$\int_{C_1} v \cdot t \, ds = \Gamma \neq 0$$

$$\int_{C_2} v \cdot t \, ds = -\Gamma$$





## 7) Notion de couche limite

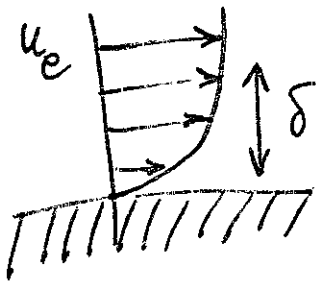
- Écoulement près d'une paroi plane

\* fluide parfait :  $u \cdot n = 0$

non pénétration du fluide  
glisse sans frottement le long de  
la paroi

\* fluide visqueux :  $u = 0$

pas de vitesse tangentielle à la paroi  
frottement le long de celle-ci.

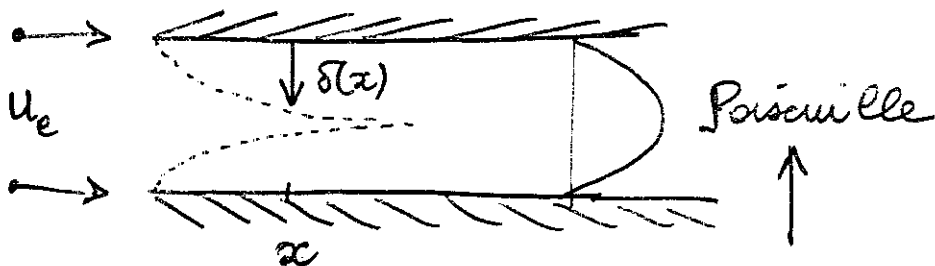


on a une variation impor-  
tante du champ de vitesse  
sur une épaisseur  $\delta$

→ couche limite

- Développement de la couche limite

(ex) d'un écoulement entre deux plaques



Solution exacte des  
équations de Navier-  
Stokes: profil parabolique  
de vitesse

• Ordres de grandeur.

$$\underbrace{\rho u \cdot \nabla u}_{\text{inertie}} + \underbrace{\nabla p}_{\text{pression}} - \underbrace{\text{div } \tau}_{\text{viscosité}} = 0$$

$$\rho u \frac{\partial u}{\partial x} \quad \frac{\partial p}{\partial x} \quad \frac{\partial}{\partial y} \tau_{xy}$$

cf couche de cisaillement

$$\frac{\partial u}{\partial x} \sim \frac{U}{x} \quad \rho u \frac{\partial u}{\partial x} \sim \rho \frac{u^2}{x}$$

$$\frac{\partial \tau_{xy}}{\partial y} = \mu \frac{\partial^2 u}{\partial y^2} \sim \mu \frac{u}{\delta^2}$$

\* équilibre entre forces d'inertie et de viscosité

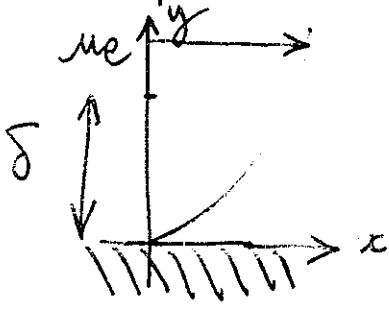
$$\rho \frac{u^2}{x} \sim \mu \frac{u}{\delta^2}$$

$$\delta \sim x \sqrt{\frac{\mu}{\rho u x}} \sim \frac{x}{\sqrt{Re_x}}$$

$Re_x = \frac{\rho u x}{\mu}$  nombre de Reynolds basé sur la distance au bord d'attaque de la plaque.

\*  $\delta(x) = O(\sqrt{x})$  et  $\frac{\delta(x)}{x} \sim \frac{1}{\sqrt{Re_x}}$

- Epaisseur de la couche limite



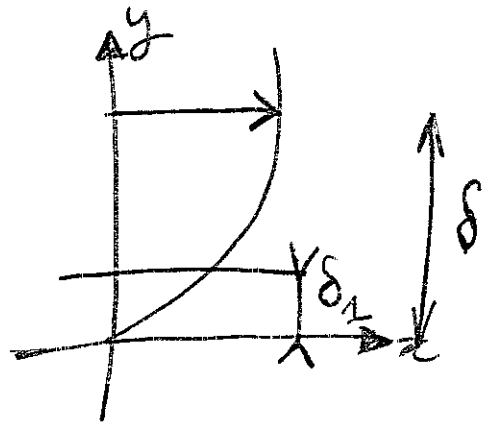
$u(x,y)$  dans le fluide

$$y \rightarrow +\infty \quad u(x,y) \rightarrow u_e(x)$$

Continuité  $\rightarrow \exists \delta / u(x,\delta) = \underbrace{0,99}_{\text{convention}} u_e(x)$   
 épaisseur de la couche limite.

- Epaisseur de déplacement

$$\delta_1 = \int_0^{\delta} \left(1 - \frac{\rho u}{\rho_e u_e}\right) dy$$

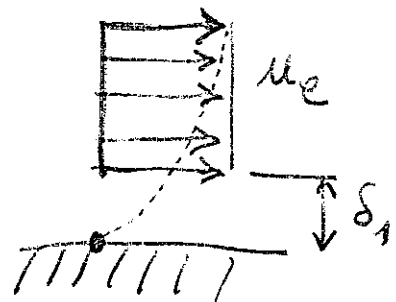


débit dans la couche limite

$$q = \int_0^{\delta} \rho u dy = \rho_e u_e \int_0^{\delta} \left[1 - \left(1 - \frac{\rho u}{\rho_e u_e}\right)\right] dy$$

$$q = \rho_e u_e (\delta - \delta_1)$$

$$\text{déficit de débit} = \rho_e u_e \delta_1$$



modèle de couche limite:

écoulement extérieur (pas 0,99 fois celui-ci!)  
 sur épaisseur  $\delta - \delta_1$ ; rien après  
 équivaut à déplacer la paroi de  $\delta_1$  et d'imaginer  
 que l'on a un fluide parfait.

- Epaisseur de quantité de mouvement

$$\delta_2 = \int_0^{\delta} \frac{\rho u}{\rho u_e} \left(1 - \frac{\rho u}{\rho u_e}\right) dy$$

débit de quantité de mouvement

$$J = \int_0^{\delta} \rho u^2 dy$$

Quid si on a le même débit de masse, mais avec pour vitesse  $u_e$  au lieu de  $u$ ?

$$J_e = \dot{m} u_e = \left( \int_0^{\delta} \rho u dy \right) u_e$$

$$J_e - J = \int_0^{\delta} \rho u (u_e - u) dy = \rho u_e^2 \delta_2$$

- Paramètre de forme  $H$  (facteur de forme).

$$H = \frac{\delta_1}{\delta_2}$$

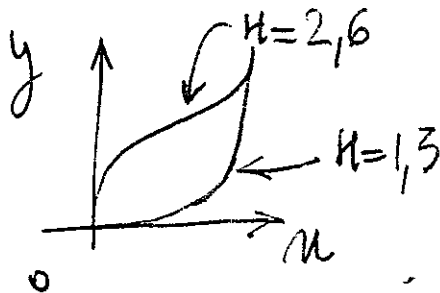
$$H_{\text{profil linéaire}} = 3$$

$$H_{\text{laminaire}} = 2,61$$

$$H_{\text{poiseuille}} = ?$$

$H$  turbulent: 1,2 à 2,6.

$H > 2,6$ : décollement de la couche limite



8) Théorie de Prandtl

(1905)

- fluide incompressible stationnaire le long d'une plaque plane.

Deux échelles de longueur très différentes  
 $x, \delta(x) \ll x$

- continuité  $\frac{\partial u}{\partial x} + \frac{\partial v}{\partial y} = 0$ .

$$v \approx u \frac{\delta(x)}{x} = \frac{u}{\sqrt{Re}} \ll u.$$

Donc la composante sur  $y$  est d'un ordre de grandeur plus petite que la composante de la vitesse sur  $x$ .

- impulsion selon  $x$ .

$$\frac{\partial^2 u}{\partial y^2} \approx \frac{u}{\delta^2} \gg \frac{u}{x^2} \approx \frac{\partial^2 u}{\partial x^2} \quad \frac{\partial^2}{\partial y^2} \gg \frac{\partial^2}{\partial x^2}$$

$$\text{mais } v \frac{\partial u}{\partial y} \approx u \frac{\delta(x)}{x} \frac{u}{\delta(x)} \approx \frac{u^2}{x} \approx u \frac{\partial u}{\partial x}$$

$$\text{Donc il reste } u \frac{\partial u}{\partial x} + v \frac{\partial u}{\partial y} + \frac{1}{\rho} \frac{\partial p}{\partial x} - \nu \frac{\partial^2 u}{\partial y^2} = 0$$

- impulsion selon  $y$

$$u \frac{\partial v}{\partial x} + v \frac{\partial v}{\partial y} + \frac{1}{\rho} \frac{\partial p}{\partial y} - \nu \frac{\partial^2 v}{\partial y^2} = 0$$

les termes en  $v$  sont d'un ordre de grandeur plus petits que les termes en  $u$  de l'équation précédente ; donc on les omet

Il reste  $\frac{\partial p}{\partial y} = 0 \rightarrow p = p_e(x)$  donné 18

- Energie (pour mémoire)

$$h = e + \frac{p}{\rho}$$

$$\rho u \frac{\partial h}{\partial x} + \rho v \frac{\partial h}{\partial y} = \frac{\partial}{\partial y} \left( k \frac{\partial T}{\partial y} \right) + u \frac{dp_e}{dx} + \mu \left( \frac{\partial u}{\partial y} \right)^2$$

- système d'équations à résoudre.

$$u(x, \infty) = u_e(x)$$

$$p + \frac{1}{2} \rho u_e^2 = \text{cte}$$

$$\left\{ \begin{array}{l} \frac{\partial u}{\partial x} + \frac{\partial v}{\partial y} = 0 \\ \mu \frac{\partial u}{\partial x} + \nu \frac{\partial u}{\partial y} - \nu \frac{\partial^2 u}{\partial y^2} = - \frac{1}{\rho} \frac{dp_e}{dx} \\ \frac{\partial p}{\partial y} = 0 \quad (pm) \\ u(x, 0) = v(x, 0) = 0 \end{array} \right.$$

## 9) Solution de Blasius (1908)

-19

- Chercher une solution auto-similaire dans le cas où  $u_0(x) = U = \text{cste}$

$$\left\{ \begin{array}{l} \text{deux échelles de longueur} \\ \text{vitesse} \end{array} \right. \quad \begin{array}{l} x_0 \\ u \end{array} \quad \begin{array}{l} \delta(x_0) = \frac{x_0}{\sqrt{Re(x_0)}} \\ v = \frac{u}{\sqrt{Re(x_0)}} \end{array}$$

- Introduire les deux échelles dans les équations ou fixé  $x_0$  ;  $\delta(x_0)$ .

$$x = x_0 x' \quad y = \delta(x_0) y' = \frac{x_0}{\sqrt{Re(x_0)}} y'$$

$$u = U u' \quad v = \frac{U}{\sqrt{Re(x_0)}} v'$$

$$\rightarrow \frac{\partial u'}{\partial x'} + \frac{\partial v'}{\partial y'} = 0$$

$$Re = \frac{U x_0}{\nu}$$

$$\text{échelle de } u \frac{\partial u}{\partial x} : \frac{U^2}{x_0} \quad ; \quad v \frac{\partial u}{\partial y} : \frac{U}{\sqrt{Re}} \frac{U}{x_0} = \frac{U^2}{x_0}$$

$$\text{échelle de } v \frac{\partial^2 u}{\partial y^2} : \quad v \frac{U}{x_0^2} = \frac{\frac{U}{\sqrt{Re}} U^2}{x_0}$$

$$\rightarrow u' \frac{\partial u'}{\partial x'} + v' \frac{\partial v'}{\partial y'} - \frac{\partial^2 u'}{\partial y'^2} = 0$$

$$\text{car } \frac{dp}{dx} = 0 \quad \underline{\underline{ici}}$$

équilibre entre la convection (non linéaire)  
et la diffusion (linéaire)

- Fabriquer avec les deux échelles de longueur adimensionnelles une grandeur qui ne dépende pas de  $x_0$ , qui ne joue aucun rôle dans le problème.

$$x' = \frac{x}{x_0}$$

$$y' = \frac{y}{f(x_0)}$$

$$y \sqrt{\frac{v}{v x_0}}$$

$$\theta = \frac{y'}{\sqrt{x'}} \text{ ne dépend plus de } x_0.$$

$$\theta = \frac{y}{\sqrt{\frac{v x}{v}}}$$

Donc on cherche  $\begin{cases} u = v f'(\theta) & [\text{traditionnel}] \\ v = v \sqrt{\frac{v}{v x}} h(\theta) \end{cases}$

• Equation de Blasius :  $2 f''' + f f'' = 0$ .

plus précisément  $\psi'' = -\frac{1}{2} \psi'(\theta) \int_0^\theta \psi(\xi) d\xi$

passer en  $(x, \theta)$  où  $\psi = f'$ .  $f(0) = 0$ .

$$\frac{\partial u}{\partial x} = -\frac{\partial v}{\partial y} = v \psi'(\theta) \frac{\partial \theta}{\partial x} = -\frac{1}{2} v \psi'(\theta) \frac{\theta}{x}$$

$$\frac{u}{v} = \psi(\theta)$$

$$\frac{\partial v}{\partial \theta} = \frac{\partial v}{\partial y} \frac{\partial y}{\partial \theta} = \frac{\partial v}{\partial y} \sqrt{\frac{v x}{v}}$$

$$\text{Donc } \frac{\partial v}{\partial \theta} = \sqrt{\frac{v v}{x}} \theta \frac{\psi'(\theta)}{2}$$

$$\text{ie } v = \sqrt{\frac{v v}{x}} \left( \frac{1}{2} \theta \psi(\theta) - \frac{1}{2} \int \psi(\xi) d\xi \right)$$

$$* \quad u \frac{\partial u}{\partial x} = -\frac{1}{2} \frac{\theta}{x} u \frac{\partial u}{\partial \theta} = -\frac{1}{2} \frac{v^2}{x} \theta \psi(\theta) \psi'(\theta)$$

$$v \frac{\partial u}{\partial y} = \sqrt{\frac{v v}{x}} \frac{1}{\sqrt{\frac{v x}{v}}} v \left( \frac{1}{2} \theta \psi(\theta) - \frac{1}{2} \int \psi(\xi) d\xi \right) \psi'(\theta)$$

$$v \frac{\partial u}{\partial y} = \frac{v^2}{x} \psi'(\theta) \left( \frac{1}{2} \theta \psi(\theta) - \frac{1}{2} \int \psi(\xi) d\xi \right)$$

$$v \frac{\partial^2 u}{\partial y^2} = v \frac{1}{\sqrt{\frac{v x}{v}}} \frac{1}{\sqrt{\frac{v x}{v}}} v \psi''(\theta) = \frac{v^2}{x} \psi''(\theta)$$

Donc l'équation d'impulsion donne  $-\frac{1}{2} \psi' \int \psi d\xi = \psi''$ .



\* on fixe les bornes d'intégration  
Conditions aux limites

$$y=0 \quad \frac{u}{U} = \psi(0) = 0$$

$$\frac{v}{\sqrt{\nu U}} = \frac{v(0)}{\sqrt{\nu U}} = 0$$

$$\text{Donc } v = \sqrt{\frac{\nu U}{x}} \left( \frac{1}{2} \theta \psi(0) - \frac{1}{2} \int_0^\theta \psi(\xi) d\xi \right)$$

$$y=\infty \quad \frac{u}{U} = f(\theta) \rightarrow 1 \text{ si } \theta \rightarrow \infty$$

• Résolution approchée de l'équation de Blasius

{ forme classique:  $\psi = f'$ , ie  $f''' = -\frac{1}{2} f'' f$

$$* \psi'' = -\frac{1}{2} \psi' \int_0^\theta \psi d\xi \quad \Rightarrow \psi''(0) = 0$$

$$\text{je dérive: } \psi''' = -\frac{1}{2} (\psi' \psi + \psi'' \int_0^\theta \psi d\xi)$$

$$\text{je fais } \theta=0 \quad \psi'''(0) = 0 \quad \text{car } \psi(0) = 0$$

$$\frac{u}{U} = \theta f'(0) + b\theta^4 + o(\theta^5)$$

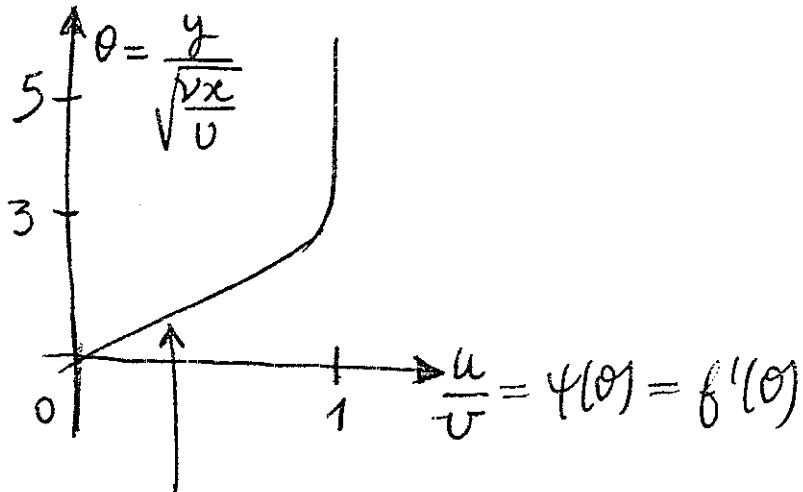
\* on reporte dans l'équation de Blasius

$$b = -\frac{1}{48} (\psi'(0))^2$$

$$* \theta \rightarrow \infty \quad \int_0^\theta \psi d\xi \sim \theta$$

$$\text{alors } \psi'' \approx -\frac{1}{2} \theta \psi'$$

$$\text{ie } \psi'(\theta) \sim k \exp\left(-\frac{1}{4} \theta^2\right)$$



$$\psi'(0) = 0,334 \approx \frac{1}{3}$$

$$\psi(\theta=5) = 0,99$$

- Épaisseurs caractéristiques

$$\left. \begin{aligned} \delta_1 &= 1,720 \frac{x}{\sqrt{Re_x}} \\ \delta_2 &= 0,664 \frac{x}{\sqrt{Re_x}} \end{aligned} \right\} H = \frac{\delta_1}{\delta_2} \approx 2,59.$$

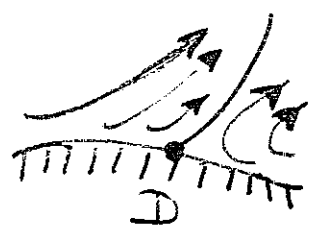
-contrainte pariétale ← le nouveau terme dans l'interaction du fluide sur la paroi!

$$\tau = \mu \left( \frac{\partial u}{\partial y} \right)_{y=0} \quad c_f = \frac{\tau}{\frac{1}{2} \rho U^2}$$

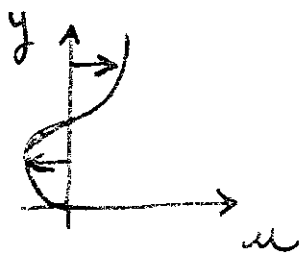
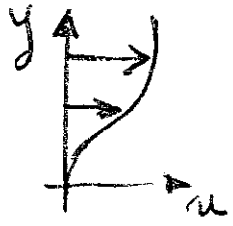
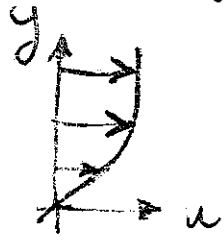
$$c_f = \frac{0,664}{\sqrt{Re_x}}$$

10) Décollement de la couche limite

- Couche limite soumise à un "gradient de pression adverse" i.e.  $\frac{\partial p}{\partial x} > 0$   
 $u_x(x)$  diminue  
 → les particules fluides décélèrent.  
 après un moment, il y a un point où la vitesse s'annule!



- Critère classique  $\tau_w = \mu \left(\frac{\partial u}{\partial y}\right)_{y=0} = 0$   
 $\frac{\partial u}{\partial y}(y=0) = 0$



décollement      couche limite décollée.

- Application: décrochage des ailes d'avion

